

## “親和部位”による結晶性天然多糖の酵素分解機構

林田, 晋策  
九州大学農学部発酵学教室

後藤, 正利  
九州大学農学部発酵学教室

<https://doi.org/10.15017/23433>

---

出版情報：九州大学農学部学藝雑誌. 47 (1/2), pp.73-83, 1993-01. 九州大学農学部  
バージョン：  
権利関係：

## “親和部位”による結晶性天然多糖の 酵素分解機構

林 田 晋 策・後 藤 正 利

九州大学農学部発酵学教室  
(1992年7月31日 受理)

### The Mechanism for Digestion of the Crystalline Carbohydrates by Amylase and Cellulase on the Basis for the Theory of the Affinity Site.

Shinsaku HAYASHIDA and Masatoshi GOTO  
Laboratory of Applied Microbiology, Faculty of Agriculture,  
Kyushu University 46-02, Fukuoka 812

#### I 緒 言

自然界に最も多量に存在するバイオマスである生澱粉や天然セルロースは、ともにグルコースポリマー鎖からなり、規則的な高分子内外の水素結合を有し、水に不溶の結晶構造を形成している。通常の酵素反応は液相間のイベントであるが、生澱粉分解性アミラーゼ及び天然セルロース分解性セルラーゼによるこれら結晶多糖基質の分解は液-固相間反応であるため、その機構についての知見は極めて乏しい。本報は、20年前に本研究室で呈示した結晶基質分解能の発現に必須な親和部位のモデルを基礎として (Hayashida *et al.*, 1975, 1982)、これら結晶性多糖基質の分解機構に関し、新知見に基づいて総括的考察を行ったものである。

#### II 生澱粉分解性アミラーゼ

##### 1. 黒麹菌グルコアミラーゼの多様性

九州、沖縄特産の乙類焼酎の製造に使用されている河内黒麹菌 *Aspergillus awamori* var. *kawachi* は、単一菌株によって基質分解曲線、生澱粉分解能及び各種安定性を異にする多種類のグルコアミラーゼ (GA) を産生した (Hayashida *et al.* 1976)。この多様な GA の本体を解明するため、発酵学的手法により intact な GA 分子の生産を企図して制御培養を行った (Hayashida, 1975)。表 1 に示したように、Culture A では、分子量 90,000 の、糊化澱粉に対しタイプ A の分解曲線を示し、生澱粉分解能と同吸着能を有する GA I だけが、24—30 時間という細菌並の速度で選択的に生産

された。Culture B では、タイプ B の水溶性基質分解曲線を示し生澱粉分解能及び同吸着能を欠失し、安定性の低下した GA I' (分子量 73,000) が、さらに Culture C では、タイプ C の分解曲線を示し生澱粉分解能及び同吸着能を欠失し、極めて不安定な GA II (分子量 57,000) が、培養条件の相違によってそれぞれ選択的に生産された。この Culture A, B 及び C を用いた制御培養の結果から、*in vivo* で黒麹菌培養の際、随伴酵素として生産されるプロテアーゼと、マンノシダーゼ、N-アセチルグルコサミニダーゼ等のグリコシダーゼにより、プロトタイプの GA のポリペプチド鎖及び結合糖鎖が段階的に限定分解され、上述のように性質を相違する多様な低分子の GA へと変換することにより、GA の多様性が発現することを見いだし確認した (Yoshino *et al.* 1978)。

##### 2. グルコアミラーゼの多様性発現機構と親和部位

GA の多様性発現機構に関しては、上述の *in vivo* での翻訳後のプロテオリシスによるタンパク質レベルの機構とは異なり、Boel *et al.* (1984) は、*Aspergillus niger* GA をコードする mRNA のスプライシングの有無による RNA レベルでの多様性発現調節機構を報告した。それ故、*A. awamori* var. *kawachi* から全 mRNA の取得を行った後、その無細胞系翻訳産物を抗 GA 抗体で免疫沈降させ SDS-PAGE にて翻訳産物を検した結果、分子量 69,000 の糖鎖のない GA I に相当する唯一のタンパク質バンドを認めた (Hayashida *et al.* 1988a)。つまり、多様な GA 群の本体は、単一の DNA の産物としての GA I であり、GA I の多様

Table 1. Mechanism for the occurrence of multiplicity of glucoamylase

Classification of glucoamylase		Type A	Type B	Type C
Degree of maximum hydrolysis	Glycogen Gelatinized starch	100% 90%	80% 90%	40% 60%

□ ; Raw starch-adsorbable and -digestible glucoamylase  
 GP; Glycopeptide generated from the limited proteolysis of glucoamylase

性は Boel らの mRNA スプライシング過程に起因するのではなく、翻訳後のプロテオリシスに起因することを確認し、現在では彼らもこれを是認している。

原型 GA I の *in vivo* プロテオリシスによる“ある領域”の欠失が、GA I'あるいは GA II へと変換させ、同時に生澱粉分解能を特異的に欠失することから、生澱粉分解能におけるこの欠失領域の重要性が示唆され、その取得に努めた。GA I に、細菌アルカリプロテアーゼ、サブチリシンを加えて *in vitro* プロテオリシスを行った結果 (Hayashida *et al.* 1978; Fukuda *et al.* 1992b), GA I は、分子量 73,000 の GA I', 分子量 13,200 の糖ペプチド (GP-I), 並びに分子量 10,000 の Cp へと変換した。GA I' は、GA I と同様、糊化澱粉分解能を示したが、生澱粉吸着能及び同分解能を特異的に欠失した。一方、GP-I 並びに Cp は、酵素活性を示さなかったが、ともに生澱粉吸着能を有しており、特に、後者の方で顕著であった。つまり、GA I の活性部位は GA I' 領域に保持されたが、生澱粉吸着能はそれとは離れて独立した GP-I 並びに Cp 領域において発現することを認めた。触媒機能をもつ GA I' 以外の領域、すなわち生澱粉吸着に関与する GP-I 及び Cp の領域を“生澱粉親和部位”と名づけ、生澱粉分解はこの親和部位と、糊化澱粉分解を触媒する活性部位との共同作用によって進行するものと考察した。

### 3. 生澱粉親和部位としての GP-I 並びに Cp の構

造

*A. awamori* var. *kawachi* GA I 遺伝子を取得し、その塩基配列解析によって GA I の一次構造を推定した (Hayashida *et al.* 1989c). *A. niger* GA との間に 35 アミノ酸残基の置換と 1 残基の欠失が認められ、本株 GA I 分子のうち、GP-I は Ala<sup>470</sup> から Val<sup>514</sup> に、Cp は C 末端の Ala<sup>515</sup> から Arg<sup>615</sup> に位置することを明らかにした。図 1 で示したように、GP-I を構成する 45 アミノ酸残基のうち、30 残基は Thr 及び Ser つまりヒドロキシアミノ酸によって構成され、両アミノ酸残基に 56 個のマンノース残基が平均 2 個の割合で結合するという特異構造を見いだした (Hayashida *et al.* 1989a)。一方、101 個のアミノ酸残基からなる C 末端ペプチドの Cp 領域は、ハイドロパシブプロットから、3 つの疎水性領域を有していた (Fukuda *et al.* 1992b)。

### 4. 生澱粉分解能の発現に必須な親和部位 GP-I 並びに Cp の機能

GA I は、 $\alpha$ -,  $\beta$ -及び  $\gamma$ -シクロデキストン (CD) と特異的に結合することによって、糊化澱粉分解能にはほとんど影響を与えていないが、生澱粉吸着能及び同分解能を特異的に阻害した (図 2, Fukuda *et al.* 1992b)。さらに、図 3 の様に GA I, GA I', GP-I 及び Cp を  $\alpha$ -CD-Sepharose 6B カラムへ供与すると、GA I' 及び GP-I はゲルに吸着されず素通りしたが、

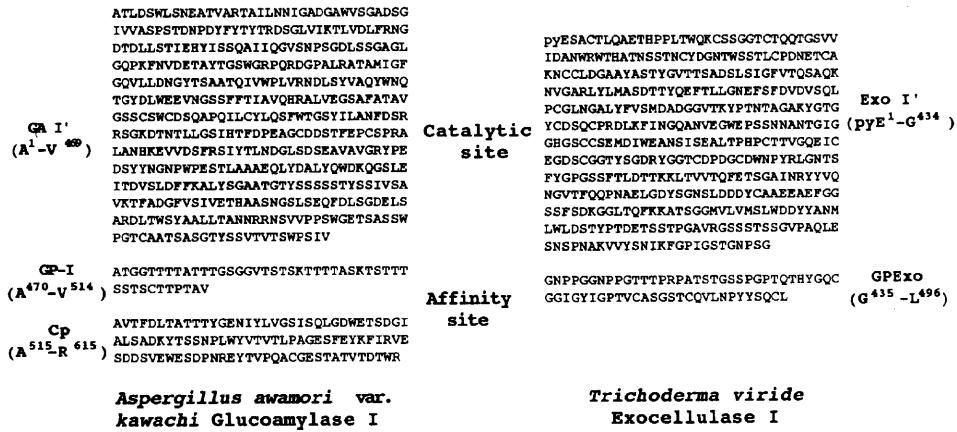


Fig.1. Deduced amino acid sequence of *Aspergillus awamori* var. *kawachi* glucoamylase I and *Trichoderma viride* exocellulase I.

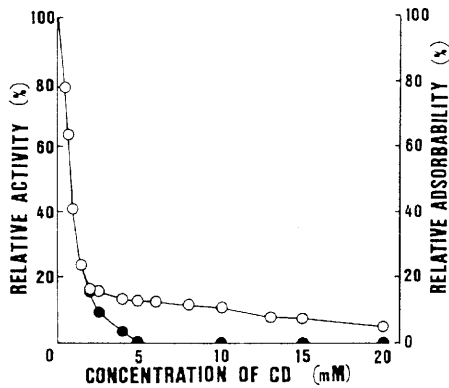


Fig.2. Effects of  $\alpha$ -cyclodextrin(CD) on raw starch-digestibility and raw starch-adsorbability by GA I.

Symbols; Relative activity of raw corn-starch-digestibility(●)and relative adsorbability of GA I on raw corn-starch-adsorbability(O)in the presence of  $\alpha$ -CD.

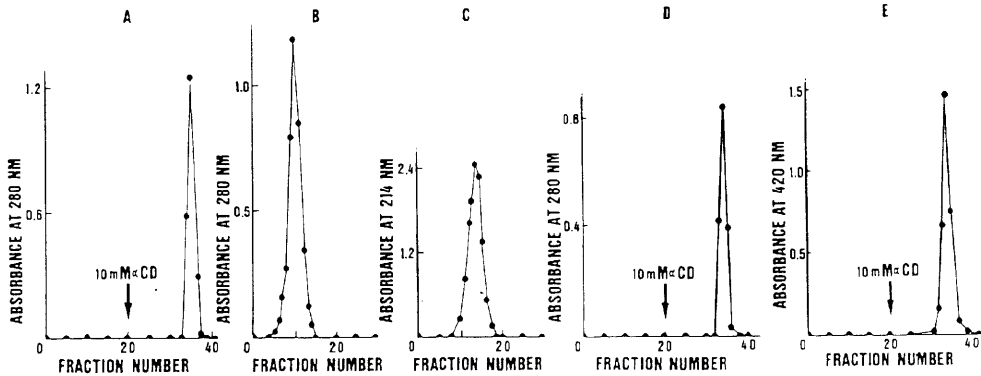


Fig.3. Affinity chromatography on  $\alpha$ -CD-Sepharose 6B. A,B,C,D, and E show the elution patterns of GA I, GA I', GP-I, Cp, and  $\beta$ -galactosidase fusion protein including GP-I and Cp regions, respectively.

GA I及びCpはゲルに吸着し、10mMの $\alpha$ -CD溶液で溶出された。さらに、親和部位であるGP-I及びCpを含む大腸菌 $\beta$ -ガラクトシダーゼ融合タンパク質も、 $\alpha$ -CDゲルに対しGA I及びCpと同様の挙動を示した。この結果から、GA IとCDの吸着相互作用は親和部位内のGP-I領域ではなくCp領域において生起することを明示した。

X線解析データから、生澱粉のでんぷん分子構造はらせん状をなし、垂直軸の方向にCDのリング状構造に類似することが報告されており(Imberty *et al.* 1988)、従って生澱粉粒とCDに対し、GA Iがともに吸着能を示すものと考察した。 $\alpha$ -D-(1-4)-グルカンが、らせん状の生澱粉ミセル、あるいは環状のCDのよう

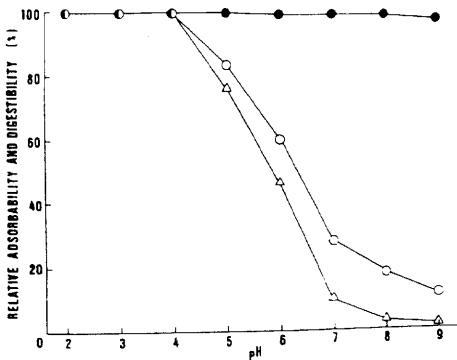


Fig. 4. pH dependency on raw starch-adsorption, raw starch-digestibility and  $\alpha$ -CD-Sepharose 6B-adsorbability of GA I.

Symbols; raw corn-starch-adsorption(○),  $\alpha$ -CD-Sepharose 6B-adsorption(●), raw-starch-digestibility(△).

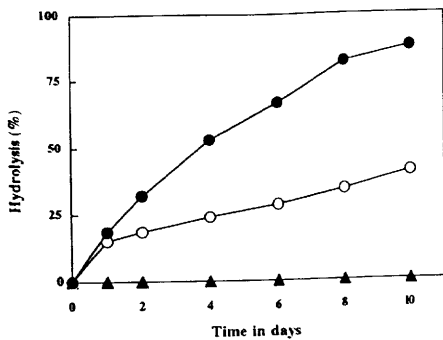


Fig. 5. Effect of GP-I on raw starch-digestion by GA-I.

Symbols; GA I (○), GA I 0.72U/mg starch and 0.05mg/mg starch of GP-I (●), GA I (○), and GP-I (▲).

な3次元構造を持つ場合、両分子におけるくぼみの内側は、ゲストの疎水基と包接化合物を形成するのに適した疎水環境となっている。GA IとCD間の吸着はpH非依存性であり(図4, Fukuda *et al.*, 1992b)、CD添加による差スペクトルの変化からGA Iと生澱粉との吸着は、GA I親和部位内のCp領域のTrp残基などと、生澱粉分子のらせん構造の内孔との間に特異的に包接化合物を形成することに起因するという分子認識のメカニズムを呈示した。

一方、親和部位の一部であるGP-Iは、酵素活性及びCDゲル吸着能を全く示さないが、GP-IをGA Iの生澱粉分解系に添加することによりGA Iの生澱粉分解能を2.5倍に増加させた(図5, Hayashida *et al.* 1989b)。これに類似した結果を、ブタすい臓 $\alpha$ -アミラーゼのトリプシン消化物由来の分子量20,000の糖ペプチドでも認めた(Hayashida *et al.* 1991)。

さらに、*A. awamori* var. *kawachi*のプロテアーゼ及びグリコシダーゼ欠損変異株F-2035を取得し、Culture Aの培養液から、糖含量が33%と親株GA Iの2倍に増加した分子量110,000のGA MU-Hを精製した(Fukuda *et al.* 1992a)。GA MU-Hのアミノ酸組成とその末端アミノ酸はGA Iのそれと完全に一致し、GA MU-HとGA Iの分子量の相違が結合糖鎖量の

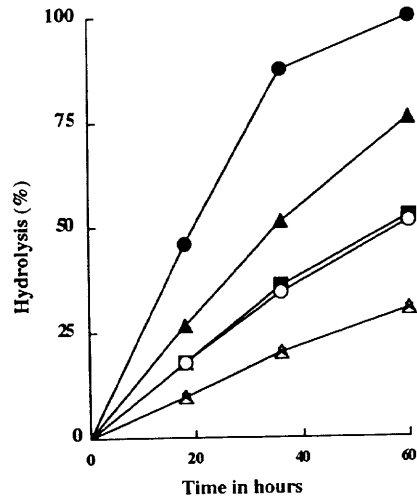


Fig. 6. Effects of partial removal of carbohydrate from GA I and GA MU-H on their ability to digest raw starch.

Symbols; GA I (○), GA MU-H (●), glycosidase-digested GA I (△), glycosidase-digested GA MU-H (▲), twice glycosidase-digested GA MU-H (■), GA MU-L (×).

相違によるものであることが明確となった。GA MU-H の酵素化学的性質を検したところ、GA MU-H の糊化澱粉分解能及び生澱粉、 $\alpha$ -CD 吸着能は GA I と同一であったが、図 6 に示したように生澱粉分解能は GA I の 2.5 倍に増加した。また GA MU-H はグリコ

シダーゼ処理により GA I と同一の糖含量を持った GA へと変換すると同時に、生澱粉分解能も GA I と同レベルまで低下した (図 6)。

一方、F-2035 株は、Culture A に 0.5% の酵母エキス及びカザミノ酸を添加した培地では、GA MU-H と分子量、アミノ酸組成そして糖含量を同一とするが、その結合糖鎖であるマンノースのうち約 4 分の 1 がグルコースに置換した GA MU-L を産生した (表 2)。GA MU-L は、結合糖鎖の一部が置換しただけであるにも関わらず、図 6 に示した通り GA MU-H とは対照的に生澱粉分解能だけが GA I に比して、2 分の 1 と低下した。この結果から、GA I による生澱粉分解において結合糖鎖の量及び組成 (特にマンノース) が重要であることが示唆された。さらに、GP-I の生澱粉分解促進能及び GA MU-H で認められた生澱粉分解能の特異的増大といった結果を踏まえて、Hayashida *et al.*

Table 2. Carbohydrate composition of parental and mutant glucoamylases.

Carbohydrate	GA I	GA MU-H	GA MU-L
Mannose	79	196	143
Glucose	2	2	54
Galactose	1	1	4
N-Acetyl- $\beta$ -D-glucosaminide	1	1	1
Xylose	2	2	2

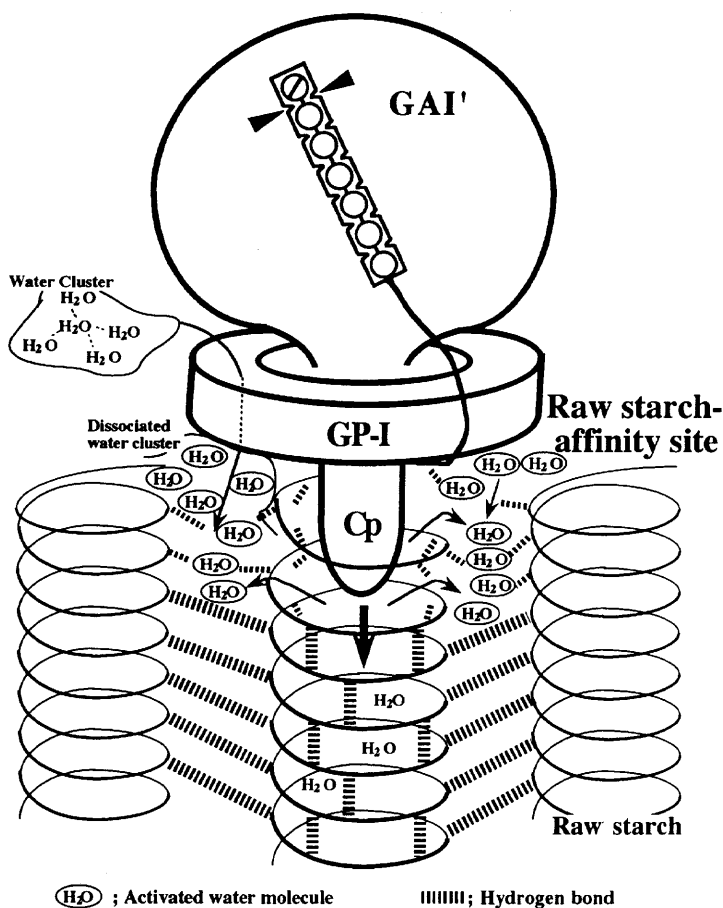


Fig. 7. A hypothetical model for raw starch-digestion by GA I.

(1989b)はGP-I領域の機能を説明するものとして“水分子クラスター構造の破壊モデル”を呈示した。

D-マンノースは、水分子同士の結合を破壊し、D-グルコースは、逆にそれを安定化させるという知見を基礎として、GP-Iの高密度なマンノシド鎖の分極した水酸基と、安定なクラスター構造をとっている双極子としての水分子との相互作用によって、活性化されたエンタルピーに富む単分子状態の水分子が生成し、その活性水分子が澱粉分子間の水素結合を攻撃して局所的な水和(糊化)が促進される。GA MU-HとGA MU-Lにおける生澱粉分解能の違いも、このモデルから理解される。

このモデルをさらに立証するため、GA MU-Hを用い、 $H_2O$ 及び $D_2O$ よりも強力な水素結合(より安定なクラスター構造)を形成する $D_2O$ 中での基質との相互作用の検討を行った。GA MU-Hの糊化澱粉に対する $K_m$ 値及び $V_{max}$ 値、 $\beta$ -CDの結合数及び解離定数、及び生澱粉吸着能は、 $D_2O$ 及び $H_2O$ 中で、いずれも同一であったが、生澱粉分解力のみが $D_2O$ 中において20%低下した。つまり、活性部位及び親和部位による触媒能及び生澱粉吸着能は $D_2O$ 中では影響されていないことから、生澱粉分解力の低下がGP-I領域による $D_2O$ 分子のクラスター構造の破壊機能の阻害に起因するものと考察した。

以上の知見に基づきGA Iによる生澱粉分解メカニズムを図7にまとめた。GA Iによる生澱粉の分解は吸着、糊化促進及び水解といった3つの過程を経る。まず、Cp領域で立体的に生澱粉分子を認識し、同領域内の疎水性あるいは芳香族アミノ酸残基(Trp, Tyr)が、疎水的環境にあるラセン構造の内孔で包接複合体を形成することによりGA Iが生澱粉に吸着する。吸着反応と同時にラセン内包接水の活性化が起こり、次いでその活性水分子が生澱粉分子内水素結合を破壊する。瞬時に隣接したGP-I領域で、生澱粉の表面を覆っている水分子の活性化に伴う澱粉分子間の水素結合が切断され、直ちに生澱粉ミセルは水和される。澱粉分子の十分に水和された部分は、親和部位との親和力を失うと同時に触媒ドメインであるGA I'との間に親和力を生じ、活性中心のサブサイトに取り込まれ、グルコースを生成するように非還元末端から水解が行われる。

##### 5. 親和部位に基づくアミラーゼの新分類系の構築

上述のGAと同様、 $\alpha$ -アミラーゼも親和部位の有無により二大別されるものと推考し、従来は生澱粉分解能を有していないとされている糸状菌、細菌及び酵母

の $\alpha$ -アミラーゼについて同分解能を検索した。

*Aspergillus ficum* 4320のプロテアーゼ低産生変異株は生澱粉分解能、同吸着能を有した分子量88,000の耐酸性 $\alpha$ -アミラーゼを産生し、プロテアーゼ高産生変異株は、タカアミラーゼと同様の分子量54,000の生澱粉非分解、非吸着性、非耐酸性の $\alpha$ -アミラーゼを産生した(Hayashida *et al.* 1986a)。

次いで細菌の液化型及び糖化型 $\alpha$ -アミラーゼにも生澱粉分解能を有する酵素を見いだした。特に*Bacillus subtilis* 65糖化型 $\alpha$ -アミラーゼは生澱粉非吸着性であるのに、難分解性のパレイショ澱粉粒に対しても強力な分解能を示す特異な酵素であった(Teramoto *et al.* 1989)。

さらに、*Lipomyces starkeyi* HN-606は新規な生澱粉分解性糖化型 $\alpha$ -アミラーゼを産生した。GA Iと同様に生澱粉分解能は、いずれの $\alpha$ -アミラーゼでもプロテアーゼによって特異的に失活し、糊化澱粉分解能は保持された。さらに、 $\alpha$ -CDによって生澱粉吸着能及び同分解能を特異的に阻害された(Punpeng *et al.* 1992)。以上の結果から、全てのアミラーゼが親和部位の有無によって二大別されるという確証を得た。

### III 天然セルロース分解性セルラーゼ

#### 1. 親和部位の有無によるC<sub>1</sub>及びC<sub>x</sub>型セルラーゼの定義とセルラーゼ新分類系の構築

GA Iの知見を基礎として、各種糸状菌セルラーゼにおける天然セルロース分解能の有無は、翻訳後のプロテオリシスによる親和部位の欠失に起因することを明らかにした。

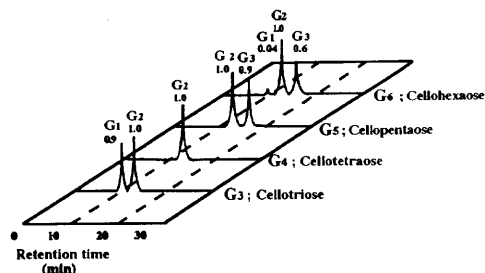
まず、*Humicola grisea* var. *thermoidea* YH-78のプロテアーゼ低産生変異株No.140並びに同高産生株No.191が取得され、No.140株エンドセルラーゼ(分子量128,000)は、天然セルロース類似の微結晶セルロースであるアビセル吸着能及び同崩壊能を示したのに対し、No.191株エンドセルラーゼ(分子量63,000)は、アビセル吸着能及び同崩壊能を欠失した(Hayashida *et al.* 1986b)。

*Geotrichum candidum* HM-11アビセル吸着・崩壊性エンドセルラーゼ(分子量130,000)は、サブチリン処理により、分子量8万のアビセル非吸着、非崩壊性エンドグルカナナーゼに変換した(Mo *et al.* 1988)。

さらに、*Trichoderma viride* プロテアーゼ低産生変異株HK-75アビセル吸着・分解性エンドセルラーゼEndo III(分子量61,000)は、パパイン処理によりアビセル吸着能及び分解能だけを特異的に低下した

**Table 3.** Classification of fungal cellulases on the basis for the theory of affinity site.

I. C <sub>1</sub> type(Avicel-adsorbable, Avicel-hydrolyzing, Affinity site-carrying)	
I.1 Endo-cellulase	
I.1.a Reducing sugar non-forming	( <i>Humicola grisea</i> ) ( <i>Geotrichum candidum</i> )
I.1.b Reducing sugar forming	
I.1.b.1 More random endo-type	( <i>Geotrichum</i> sp. ECI,III) ( <i>Trichoderma viride</i> Endo III,IV)
I.1.b.1 Less random endo-type	( <i>Geotrichum</i> sp. EC II) ( <i>T.viride</i> Endo I, II)
I.2 Exo-cellulase	
I.2.a Strictly exo-type	( <i>Aspergillus ficum</i> CBH I) (Cellobiohydrolase)
I.2.b Random exo-type	( <i>T. viride</i> Exo I)
I.3.β-glucosidase	( <i>A.ficum</i> )
II. C <sub>x</sub> type(Avicel-unadsorbable, Avicel-non-hydrolyzing, Affinity site-deficient)	
II.1 Endo-cellulase	( <i>Humicola insolens</i> , <i>T.viride</i> Endo III')
II.2 Exo-cellulase	( <i>A.ficum</i> CBH II, <i>T.viride</i> Exo I')
II.3 β-glucosidase	( <i>A.ficum</i> )



**Fig.8.**Hydrolysis patterns of celloligosaccharides by Exo I.

Endo III' (分子量 43,000) 及びアビセル吸着能だけを有した糖ペプチド, GPEndo (分子量 12,000) に変換した。

一方, エキソセルラーゼについては, 免疫学的に同一な *Aspergillus ficum* IFO4034 の CBH I (分子量 128,000) 及び CBH II (分子量 50,000) が, とともにセロオリゴ糖を厳密にセロビオース単位で分解したのに対し, CBH IIは, CBH Iで認められたアビセル吸着能及び同分解能を特異的に欠失した (Hayashida *et al.* 1988b). さらに, *T. viride* HK-75 のエキソセルラーゼ (Exo I, 分子量 65,000) は, パパインにより Gly<sup>434</sup>-Gly<sup>435</sup>間を切断されて, 水溶性基質分解能は intact な Exo I と同一パターンを示すがアビセル吸着能及び同分解能を特異的に欠失した Exo I' (分子量 56,000) 並びにアビセル吸着能だけを有する C-末端側の糖ペプチド, GPExo (分子量 9,000) へと変換した (Goto *et al.* 1992).

以上の結果から, 生澱粉分解性アミラーゼと同様,

糸状菌 *Humicola*, *Geotrichum*, *Aspergillus* そして *Trichoderma* 由来の天然セルロース分解型エンド並びにエキソセルラーゼは, いずれも通常の活性部位を持つ酵素ドメインに加えて, それとは別個の結晶セルロース吸着能を有する親和部位ドメインから構成されており, 結晶セルロースの分解は, アミラーゼと同様, 親和部位による天然結晶セルロースへの特異的吸着によって開始されるものと考察した。

さらに本知見から, その実体が永年不明であった Reese *et al.* (1950) の C<sub>1</sub> 及び C<sub>x</sub> 酵素は, この結晶セルロース親和部位の有無に起因するものであり, C<sub>1</sub> 酵素が, 親和部位を保持する天然セルロース吸着能及び同崩壊, 分解能を有するセルラーゼであり, 親和部位を欠失し両能力を失なったセルラーゼが C<sub>x</sub> 型酵素であることが明示された。

## 2. エンド並びにエキソセルラーゼのセルロース基質分解機構

C<sub>1</sub> 型エンドセルラーゼは, 水溶性高分子量基質であるカルボキシメチルセルロース (CMC) を急激に粘度低下させるが, アビセル作用時に還元糖を遊離しない崩壊型 (*H. grisea* EG 並びに *G. candidum* EC I) と, グルコースとセロビオースといった還元糖を遊離する分解型 (*Geotrichum* sp. EC I~IV 及び *T. viride* Endo I~IV) とに分類される (表 3)。

一方エキソセルラーゼに関しては, *A. ficum* CBH I 及び *T. viride* Exo I 両酵素は, いずれも反応初期でアビセルをセロビオース (G<sub>2</sub>) 単位で分解し, とともに CMC の粘度低下が緩やかであることから, 高分子

両基質に対し末端から、エキソ様式で分解する  $C_1$  型エキソセルラーゼであると考察された (Hayashida *et al.* 1988b; Goto *et al.* 1992)。

*A. ficum* CBH I は、セロトリオース ( $G_3$ ) からセロヘキサオース ( $G_6$ ) に至る各セロオリゴ糖を厳密に  $G_2$  単位で分解し、還元セロトリオースを  $G_2$  とソルビトールに、つまり非還元性末端から厳密に  $G_2$  単位で分解した。

これに対し、図 8 に示したように、Exo I は  $G_3$  から  $G_5$  のセロオリゴ糖を厳密に  $G_2$  単位で分解したが、 $G_6$  を基質とした場合は  $G_2$  だけではなく  $G_3$  も生成した。この結果は *T. viride* Endo I のセロオリゴ糖分解パターンに類似していたが、両酵素の活性ドメイン間には免疫的相同性は認められず、アピセル分解生成糖及び CMC 粘度低下の点でも明確な相違を認め、Exo I が単なるエンドタイプのセルラーゼではないことが示唆された。Exo I が、 $G_6$  を  $G_2, G_3$  単位で分解を行う要因として、Exo I の活性部位の立体構造が *Trichoderma reesei* CBH II の活性部位のようなトンネル型の立体構造 (Rouvinen *et al.* 1990) を形成していることが推察された。

一方、Okada *et al.* (1988) は、*T. viride* の市販セルラーゼ製剤 (メイセラゼ) 中で最も CMC 液化活性が弱くエキソタイプに近いとされる Cellulase III のセロオリゴ糖分解生成糖が  $G_1, G_2$  として  $G_3$  であることとアピセル分解生成糖が比較的著量グルコースを含むことから、*T. viride* セルラーゼ系には、エキソセルラーゼは存在せず、Cellulase III は、less random なエンドセルラーゼであると報告している。

しかし、Exo I は  $G_6$  を厳密に  $G_2$  だけに分解し、アピセルから反応初期段階で  $G_2$  だけを生成することから、Cellulase III とは異なっており、さらに、上述のように  $G_6$  から特異的に  $G_2$  のほか  $G_3$  をも生成する点では、厳密に非還元末端から  $G_2$  単位で水解を行うセロビオヒドラーゼとも異なるが、文字どおり末端からセルロース鎖の分解を行うエキソタイプのセルラーゼであると考察した。

以上のように、 $C_1$  型エキソセルラーゼは、*A. ficum* CBH I のような非還元性末端から厳密にセロビオース単位で分解を行うセロビオヒドラーゼと、セルロース鎖の末端から分解するが基質の構造によっては loose な分解様式をとりうるものと分類された。

従って、表 3 に示した様にセルラーゼに関しても、アマラーゼと同様、 $C_1$  型並びに  $C_x$  型酵素のそれぞれに、エンドタイプ並びにエキソタイプが存在すること

が確認され、 $C_1-C_x$  といったセルラーゼの天然セルロース分解能や、エンド及びエキソセルラーゼの基質分解パターンには複雑な多様性が存在することが見いだされた。

### 3. $C_1$ 型セルラーゼによる天然セルロース分解機構

天然セルロースの分解機構の特徴として、通常、結晶セルロース分解時に作用機作の異なるエンドタイプとエキソタイプの両者の存在による共同作用、いわゆる相乗効果が認められる。*Trichoderma viride* プロテアーゼ低産生変異株 HK-75 は、上述した 1 種の  $C_1$  型エキソセルラーゼ Exo I とセロオリゴ糖分解機作の異なる 3 種の  $C_1$  型エンドセルラーゼ (Endo I, Endo III 及び Endo IV) を産生する。これら  $C_1$  型セルラーゼ間におけるアピセル分解の相乗効果を検したところ、エキソ及びエンド間で、特に Exo I 及び Endo III 間において最も顕著であった。

そこで、Exo I 及び Endo III といった  $C_1$  及び、それらからプロテオリシスで得られた Exo I' 及び Endo III' といった  $C_x$  型のセルラーゼを用い、結晶セルロース分解における相乗作用について検討を行った。結晶セルロースの分解は、 $C_1$  タイプ同士の Exo I 及び Endo III 共存下で最も相乗的な分解が認められ、エキソあるいはエンド型酵素の一方が、 $C_x$  タイプである場合には相乗効果は低下し、 $C_x$  同士ではほとんど結晶セルロースは分解されなかった。つまり、結晶セルロース分解を効率的に行うためには、結晶セルロース親和部位を有した  $C_1$  タイプの多成分のセルラーゼの作用が必要であることが示唆された。

セルラーゼの本来の性質である天然セルロース分解能の発現は、セルラーゼ産生菌自身によるプロテオリシスに起因する親和部位の有無に依存する。天然結晶セルロース分解反応は、親和部位を有する  $C_1$  型エンド及びエキソ両酵素が、親和部位を通じて結晶セルロースに吸着することにより開始され、 $C_1$  型のエキソ並びにエンド両酵素の協同作用によって効果的に進行するものであり、生澱粉分解性アマラーゼ系と、ドメイン構造や結晶性基質分解機作に関して類似した性質を有することが明らかとなった。

## 摘 要

黒麹菌 *Aspergillus awamori* var. *kawachi* は培養条件の相違により、単一菌株によって基質分解曲線、生澱粉分解能及び各種安定性を異にする多種類のグルコアマラーゼ (GA) を産生した。これら GA の多様性は、

黒麹菌培養の際、随伴酵素として生産されるプロテアーゼとグリコシダーゼによる原型 GA I の翻訳後における修飾に起因するものであった。

GA I 分子は、糊化澱粉分解を触媒する GA I' 領域と生澱粉水和促進能及び同吸着能を有する生澱粉親和部位である GP-I 及び Cp 領域からなり、生澱粉分解能は、触媒部位及び親和部位の協同作用によって発現した。すなわち Cp 領域が、生澱粉のでんぷん分子らせん構造の内孔と疎水結合的に包接複合体を形成することにより、GA I は生澱粉に吸着し、同時に GP-I 領域の結合糖鎖によって、でんぷん分子の周りの水分子クラスターが破壊され、生じた活性水分子がでんぷん分子間の水素結合を破壊することで生澱粉が糊化される。ついで、十分に糊化されたアミロース鎖が、親和部位との親和力を失うと同時に GA I' 領域のサブサイトと親和力を生じ、サブサイトへ取り込まれていき、分解反応が遂行される。

生澱粉分解能の発現に必要な生澱粉親和部位の知見を基に、糸状菌、酵母、細菌由来のアミラーゼに関して親和部位の存在の検討を行ったところ、いずれも親和部位の存在が確認され、全てのアミラーゼが親和部位の有無によって二大別されるという確証を得た。

ついで、アミラーゼの親和部位理論を基礎として、糸状菌エンド並びにエキソセルラーゼが、結晶セルロース親和部位の有無により、親和部位を有する結晶セルロース吸着能及び同分解能を持った C<sub>1</sub> と、親和部位を欠失し結晶セルロース吸着能及び同分解能を消失した C<sub>2</sub> とに 2 大別された。

*Trichoderma viride* Exo I は、パパインにより Gly<sup>434</sup>-Gly<sup>435</sup>間を切断され、水溶性基質分解能は intact Exo I と同様であったが、結晶セルロース吸着能及び同分解能を特異的に失った Exo I' と結晶セルロース吸着能だけを有する結晶セルロース親和部位 GPExo へと変換した。以上のように、結晶性天然多糖の分解を行うアミラーゼ及びセルラーゼにおいて、ドメイン構造及び分解機作の点で類似性が認められた。

## 文 献

- Boel, E., I. Hjort, B. Svensson, F. Norris, K. E. Norris and N. P. Fil 1984 Glucoamylases G1 and G2 from *Aspergillus niger* are synthesized from two different but closely related mRNAs. *EMBO J.*, 3: 1097-1102
- Fukuda, K., Y. Teramoto and S. Hayashida 1992a The hyperdigestion of raw starch by a carbohydrate-rich glucoamylase from a protease- and glycosidase-negative mutant of *Aspergillus awamori* var. *kawachi* F-2035. *Biosci. Biotech. Biochem.*, 56: 8-12
- Fukuda, K., Y. Teramoto, M. Goto, J. Sakamoto, S. Mituike and S. Hayashida 1992b Specific inhibition by cyclodextrins of raw starch digestion by fungal glucoamylase. *Biosci. Biotech. Biochem.*, 56: 556-559
- Goto, M., K. Furukawa and S. Hayashida 1992 An Avicel-affinity site in an Avicel-digesting exocellulase from a *Trichoderma viride* mutant. *Biosci. Biotech. Biochem.*, 56: 1523-1528
- Hayashida, S. 1975 Selective submerged production of three types of glucoamylases by a black-koji mold. *Agric. Biol. Chem.*, 39: 2093-2099
- Hayashida, S., T. Nomura, E. Yoshino and M. Hongo 1976 The formation and properties of subtilisin-modified glucoamylase. *Agric. Biol. Chem.*, 40: 141-146
- Hayashida, S., S. Kunisaki and M. Nakao 1982 Evidence for raw starch affinity site on *Aspergillus awamori* Glucoamylase I. *Agric. Biol. Chem.*, 46: 83-89
- Hayashida, S. and Y. Teramoto 1986a Production and characteristics of raw-starch-digesting  $\alpha$ -amylase from a protease negative *Aspergillus ficum* mutant. *Appl. Environ. Microbiol.*, 52: 1068-1073
- Hayashida, S. and K. Mo 1986b Production and characteristics of Avicel-disintegrating endoglucanase from a protease-negative *Humicola grisea* var. *thermoidea* mutant. *Appl. Environ. Microbiol.*, 51: 1041-1046
- Hayashida, S., K. Nakahara, K. Ohta, S. Iwanaga, T. Miyata and Y. Sakaki 1988a Evidence for post-translational generation of multiple forms of *Aspergillus awamori* var. *kawachi* glucoamylase. *Agric. Biol. Chem.*, 52: 273-275
- Hayashida, S., K. Mo and A. Hosoda 1988b Production and characteristics of Avicel-digesting and non-Avicel-digesting cellobiohydrolases from *Aspergillus ficum*. *Appl. Environ. Microbiol.*, 54: 1523-1529
- Hayashida, S., K. Nakahara., K. Kuroda, T. Miyata and S. Iwanaga, 1989a Structure of the raw-starch-affinity site on the *Aspergillus awamori* var. *kawachi* glucoamylase I molecule. *Agric. Biol. Chem.*, 53: 135-141
- Hayashida, S., K. Nakahara, W. Kanlayakrit, T. Hara and Y. Teramoto 1989b Characteristics and function of raw-starch-affinity site on *Aspergillus awamori* var. *kawachi* glucoamylase I molecule. *Agric. Biol. Chem.*, 53: 143-149

- Hayashida, S., K. Kuroda, K. Ohta, S. Kuhara, K. Fukuda and Y. Sakaki 1989c Molecular cloning of the glucoamylase I gene of *Aspergillus awamori* var. *kawachi* for localization of the raw-starch-affinity site. *Agric. Biol. Chem.*, **53**: 923-929
- Hayashida, S., Y. Teramoto and I. Kira 1991 Promotive and inhibitory effects of raw starch adsorbable fragments from pancreatic  $\alpha$ -amylase on enzymatic digestions of raw starch. *Agric. Biol. Chem.*, **55**: 1-6
- Imberty, A., H. Chanzy and S. Perez 1988 The double-helical nature of the crystalline part of A-starch. *J. Mol. Biol.*, **201**: 365-375
- Mo, K. and S. Hayashida 1988 Conversion of *Geotrichum candidum* endocellulase I to endocellulase II by limited proteolysis. *Agric. Biol. Chem.*, **52**: 1683-1688
- Okada, G. and Y. Tanaka 1988 Nonexistence of Exocellobiohydrolase (CBH) in the cellulase system of *Trichoderma viride*. *Agric. Biol. Chem.*, **52**: 2981-2984
- Punpeng, B., Y. Nakata, M. Goto, Y. Teramoto and S. Hayashida 1992 A novel raw-starch-digesting yeast  $\alpha$ -amylase from *Lipomyces starkeyi* HN-606. *J. Ferment. Bioeng.*, **73**: 108-111
- Reese, E. T., R. G. H. Siu and H. S. Levinson 1950 The biological degradation of soluble cellulose derivatives and its relationship to the mechanism of cellulose hydrolysis. *J. Bacteriol.*, **59**: 485-497
- Rouvinen, J., T. Bergfors, T. Teeri, J. K. C. Knowles and T. A. Jones 1990 Three-dimensional structure of cellobiohydrolase II from *Trichoderma reesei*. *Science* **249**: 380-386
- Teramoto, Y., I. Kira and S. Hayashida 1989 Multiplicity and preferential inactivation by proteolysis as to raw starch-digestibility of bacterial  $\alpha$ -amylases. *Agric. Biol. Chem.*, **53**: 601-605
- Yoshino, E. and S. Hayashida 1978 Enzymatic modification of glucoamylase of *Aspergillus awamori* var. *kawachi*. *J. Ferment. Technol.*, **56**: 289-295

## Summary

*Aspergillus awamori* var. *kawachi* produces three type of glucoamylase: raw starch-adsorbable and -digesting GA I (MW, 90,000; type A), raw starch-nonadsorbable and -nondigesting GA I' (MW, 73,000; type B), and GA II (MW, 57,000; type C). The multiplicity of these glucoamylases and the specific conversion of the ability to digest raw starch were brought by the stepwise degradation of original GA I by protease and glycosidases. A raw starch-affinity site which is composed of GP-I (A<sup>470</sup>-V<sup>514</sup>) and Cp (A<sup>515</sup>-R<sup>615</sup>) regions on the GA I molecule, was essential for raw starch-adsorption and raw starch-digestion. The GP-I region promoted to digest raw starch and thus concluded to have the ability to hydrate raw starch. On the other hand, the Cp region has the ability to adsorb onto raw starch and cyclodextrins which were analogous to raw starch in terms of three dimensional structure. Adsorption onto raw starch of GA I mediated by Cp region occurred in the formation of inclusion complex through the hydrophobic interaction. Therefore raw starch-digestion of GA I was initiated by adsorbing onto and hydration of raw starch through the raw starch-affinity site. The well-hydrated part of starch molecule lost the affinity toward raw starch-affinity site, and hence starch molecule was captured by the active site located in GA I' region. All raw starch-digesting amylases derived from other microorganism, bacteria, fungi, and yeast had the raw starch-affinity site and thus all amylases could be classified into two types whether the presence of raw starch-affinity site or not.

On the basis of the affinity site theory, fungal endo-, and exocellulases were also classified into two types; C<sub>1</sub> (Avicel-adsorbable, Avicel-digesting, and Avicel-affinity site-carrying) and C<sub>x</sub> (Avicel-unadsorbable, Avicel-nondigesting and Avicel-affinity site-deficient). *Trichoderma viride* Exo I (E<sup>1</sup>-L<sup>496</sup>, MW, 65,000) was limitedly proteolyzed into the two fragments, Exo I' (E<sup>1</sup>-G<sup>434</sup>; MW, 56,000) and GPExo (G<sup>435</sup>-L<sup>496</sup>, MW, 9,000). The GPExo designated as Avicel-affinity site had intensive adsorbability onto Avicel but no catalytic activity toward

cellulosic substrates. The Exo I' showed identical activity to that of intact Exo I toward cellooligosaccharides but was almost inert to Avicel in terms of digestibility and adsorbability. Thus domain structure and mode of digesting action of Exo I and glucoamylase were surprisingly similar for these microcrystalline carbohydrate substrates.